

# 砂の動的変形特性に及ぼす応力状態の影響

建設省土木研究所 正員 梶林栄一・龍岡文夫 学生員 堀内俊一  
建設省建築研究所 正員 ○岩崎敏男

## 1. 緒言

共振法土質試験機を用いて、せん断ひずみ  $\gamma = 10^{-5} \sim 10^{-4}$  程度の砂のせん断変形係数、履歴減衰係数を測定した結果を報告する。試験装置の概要、測定原理については、既に報告した。(岩崎、龍岡、堀内(1974, a, b))

## 2. 実験方法

高さ 25cm、外径 10cm、内径 6cm の中空円筒供試体の下部を固定して、上部で強制ねじりせん断力を加えることによって、供試体をねじり振動させ、その共振振動数からせん断変形係数  $G$ 、自由振動の対数減衰率から履歴減衰係数  $\gamma$  を求める。又、軸方向応力  $\sigma_a$ 、側方方向応力  $\sigma_r$  は独立に制御できるから、異方応力状態を作ることができる。今回の実験で用いたのは次の2種の砂である。(下表)

応力状態は、 $\sigma_a/\sigma_r = \sigma_1/\sigma_3 = 1.0$  と  
2.0 の応力経路と、平均主応力  $p =$

|      | $G_s$ | $D_{10}$ | $D_{60}$ | $U_e$ | $e_{max}$ | $e_{min}$ |
|------|-------|----------|----------|-------|-----------|-----------|
| 豊浦砂  | 2641  | 0.12mm   | 0.145mm  | 1.21  | 0.953     | 0.686     |
| 浅間山砂 | 2695  | 0.16     | 0.38     | 2.37  | 0.961     | 0.484     |

$(\sigma_a + 2\sigma_r)/3$  一定の応力経路の3種である。測定では、まず所定の応力状態で入力を固定し、振動数を操作することにより、共振状態を作り、共振振動数  $f_r$ 、せん断ひずみ振幅等を測定する。ついで、共振状態において入力を瞬間に切り、対数減衰率  $\Delta_t$  を求める。次にねじり入力を増加させて同様の測定を、 $\gamma = 2 \times 10^{-4}$  程度まで繰り返す。次に別の応力状態を作り、上記と同様の操作を繰り返す。一つの供試体で、 $p$ 、間隙比  $e$ 、 $\gamma$  を、それそれ独立に変化させるのは困難であるので、ある所定の  $p$ 、 $e$ 、 $\gamma$  に対する  $G$ 、 $\Delta_t$  を求めるのに次の方法をとった。

(1) ある応力状態での  $G \sim \gamma$ 、 $\Delta_t \sim \gamma$  曲線から  $\gamma = 10^{-5}$ 、 $\gamma = 10^{-4}$  に対する  $G$ 、 $\Delta_t$  の値を求める。

(2) 一つの供試体についても、実験中に間隙比  $e$  は若干変る。一方、Hardin and Black(1965)によると、オタワ砂で  $\gamma < 10^{-4}$  に対して、 $G$ 、 $p$  を  $\text{kg}/\text{cm}^2$  単位であるとして、

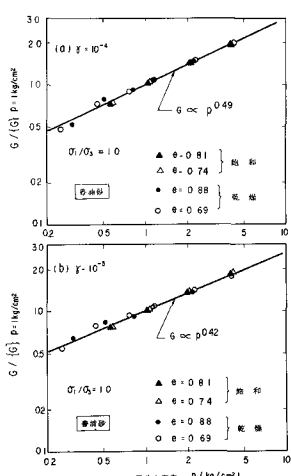


図-2  $G/(G_p)_{p=1\text{kg/cm}^2} \sim p$  関係

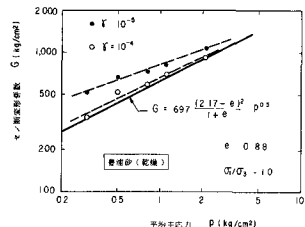


図-1  $G \sim p$  関係

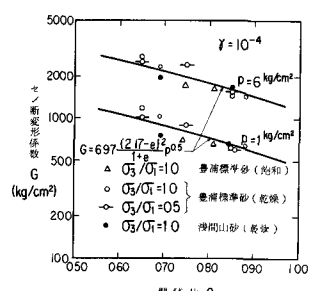


図-3  $G \sim e$  関係

$$G = 697 \frac{(2.17 - e)^2}{1 + e} p^{0.5} \quad (1)$$

が成り立つ。(1)式は次に示す様に、今回の実験に対しても適用できた。そこで、一つの供試体で間隙比が変化するのを考慮に入れて、平均間隙比を定め、これに対する $G$ を、 $G$ が  $\frac{(2.17 - e)}{17e}$ <sup>2</sup> に比例するものとして、換算して求めめる。実際のこの換算での補正量は最大で 2% 程度の小さいものである。

(3) 図-1 の様に、 $G$ と  $e$  をプロットして、所定の  $\gamma$  の値での、所定の  $P$  の値に対する  $G$  の値を読みとる。

### 3. 実験結果

図-4 G/{G<sub>0</sub>}  $\gamma = 10^{-6} \sim \gamma$  関係

図-5 G/{G<sub>0</sub>}  $\gamma = 10^{-6} \sim \gamma$  関係

図-6 G/{G<sub>0</sub>}  $\gamma = 10^{-8} \sim \gamma$  関係

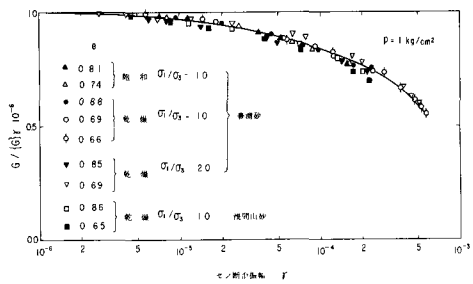


図-4  $G \setminus \{G\}$   $r = 10^{-6} \sim r$  関係

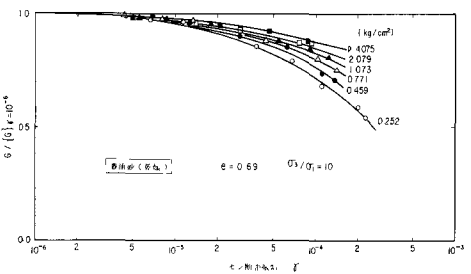


図-5  $G/\{G\}_{r=10^{-6}}$  ~  $r$  関係

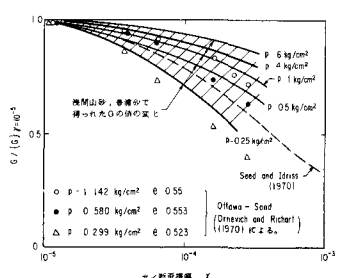


図-6  $G/\{G\}_{r=10^{-8}} \sim r$  関係

図-7は、図-5のと同じ供試体での履歴減衰係数 $\gamma$ に対する変化率を示したものであり、 $\gamma$ も $\eta$ の値の影響を大きく受ける。ここで、供試体-加振器系の対数減衰率 $\Delta\zeta$ と、砂の履歴減衰係数 $\gamma$ との間に、供試体-加振器系の固有周期、次数によらず、 $\eta = \frac{1}{2\pi}\Delta\zeta$ の関係がある。図-8には、 $P=0.5, 2.0$ での $\eta$ の値を示してあるが、豊浦砂に関しては、 $\eta$ は乾燥・飽和の違い、間隙比によらないと言え、又、Seed and Idriss (1970) の示した減衰係数の平均曲線よりも、かなり低い値となる。一方、Hardin (1965) は、オタワ砂での実験式として、 $\gamma = 10^{-5} \sim 10^{-6}$ ,  $p = 0.244 \sim 1.46 \text{ kN/m}^2$ で、 $p$ を  $\text{kN/m}^2$ 単位であらわして、 $\eta = 10^{-2} \sim -0.5$

$$\Delta t = \frac{\pi}{5} \gamma^{0.2} p^{-0.5} \quad (2)$$

を示した。図-9で、実験結果と(2)式を比較してあるが、 $\gamma=10^{-5} \text{ cm}^2$ 、 $p=1.5 \text{ kN/cm}^2$ を想定すると、実験値は(2)式と若干ずれてくるが、 $p < 1.5 \text{ kN/cm}^2$ の  $\gamma=10^{-5}$ の場合、および  $\gamma=10^{-4}$ の場合では、今回の実験結果は(2)式とあらわせる様である。

以上では、応力比  $\sigma_1/\sigma_3 = 1 \sim 2$  の実験結果を示したが、更に広範囲での応力比  $\sigma_1$  の、  $G$ 、  $\Delta t$  の値の変化を調べるために、図-10に示した応力経路での実験を行った。  $p$  は平均主応力で、  $\sigma_0$  は偏差応力  $= \sigma_a - \sigma_r$  である。試験は、平均主応力が  $2 \text{ kg/cm}^2$  で一定になる様に制御したが、結果的には、収縮は一定値となるなかで、間隙比も実験中若干変化したので、  $p = 2.0 \text{ kg/cm}^2$ 、  $e = 0.69$  に対する換算値を、2で述べた方法と、  $G$  は  $p^{0.5}$  に比例するという考え方で求めた。図-11には、偏差歪  $\epsilon_a - \epsilon_r$  ( $\epsilon_a$ : 軸方向歪、  $\epsilon_r$ : 側方向歪) と、体積歪  $V = \epsilon_a + 2\epsilon_r$  が示してあり、図-12、13には  $G$ 、  $\Delta t$  と応力比  $\sigma_1/p$  の関係が示してある。 $\sigma_1/p$  を増加している途中では、応力比  $\sigma_1/p = 0.0 \sim 1.0$  ( $\sigma_1/\sigma_3 = 1.0 \sim 2.5$ ) の範囲では、平均主応力が一定ならば、  $G$  と  $\Delta t$  は、ほぼ一定である。しかし、  $\sigma_1/p$  の値が 1.0 を越え、  $\epsilon_a - \epsilon_r$  が急に増加はじめ、正のダイレクタンシーも大きくなつてくると、  $G$  は減少はじめ、  $\Delta t$  は増加はじめめる。次に除荷 ( $\sigma_1/p$  減) していくと、  $G$  は応力比の値によらないでほぼ一定値であるが、  $\Delta t$  は若干減少する。更に、  $\sigma_1/p = 0.0$  ( $\sigma_1/\sigma_3 = 1.0$ ) に戻しても、  $G$  と  $\Delta t$  は初期の値には戻らない。このことは、  $G$  と  $\Delta t$  は、応力比の変化そのものによって変化するのではなく、供試体がせん断されることによって、内部構造に何らかの変化が生じ、そのことによって同一の  $p$ 、  $e$ 、  $V$  に対しても、  $G$ 、  $\Delta t$  の値が変化することを示しているのであろう。図-14には、浅間山砂での  $\gamma = 3 \text{ kg/cm}^3$  の実験

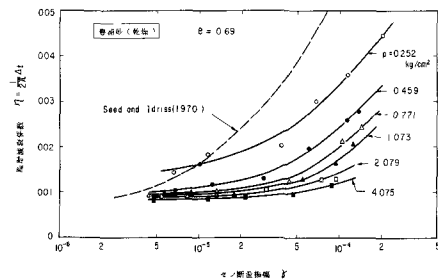


図-7  $\eta - r$  関係

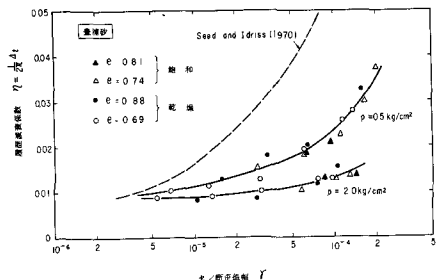


図-8  $\eta$ - $r$  関係

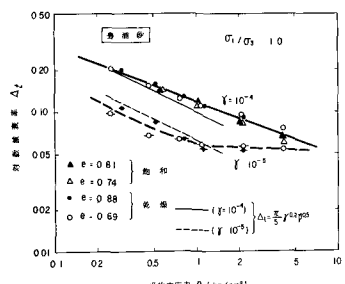


図-9  $A_s$ - $\sim p$  関係

結果を示してあるが、図-12の場合と同様に、 $G$ の $\delta/p=1.0$ からの急な減少がみられる。

#### 4. 結論

(1)応力比 $\sigma_1/\sigma_3 = 1 \sim 2.5$ の範囲では、 $\gamma = 10^{-4}$ での $G$ の値の近似式として、今回の実験の範囲では、砂の種類、応力比、乾燥・飽和の違いによらずに、(1)式を用いよう。

(2) $G$ の $\gamma$ に対する変化率は、砂の種類、間隙比、応力比、飽和・乾燥の違いによるものよりも、平均主応力による遅い方がはるかに大きい。

(3)対数減衰率 $\Delta_t$ は、(2)式でほぼあらわせる。豊浦砂では、 $\Delta_t$ は間隙比、飽和・乾燥の違いによって変わらないが、平均主応力の大きさによって大きく変る。

(4)応力比 $\delta/p = 0 \sim 1.0$  ( $\sigma_1/\sigma_3 = 1 \sim 2.5$ ) の間では、平均主応力が一定ならば $G$ 、 $\Delta_t$ の値は一定だが、応力比 $\delta/p = 1.0$  ( $\sigma_1/\sigma_3 = 2.5$ ) を越えると、載荷時には( $\delta/p$ 増加時には)  $G$ は減少し、 $\Delta_t$ は増加する。その後、応力を除荷しても、初期の値に戻らない。

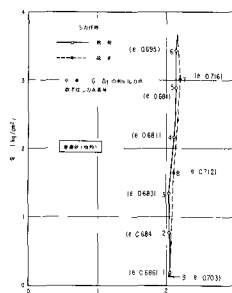


図-10  $p$ 一定応力経路

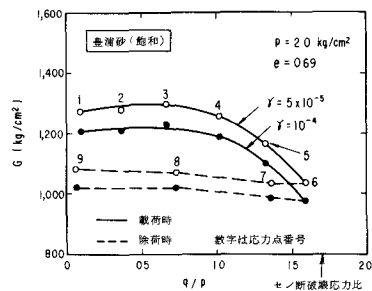


図-12.  $G \sim \delta/p$  (豊浦砂)

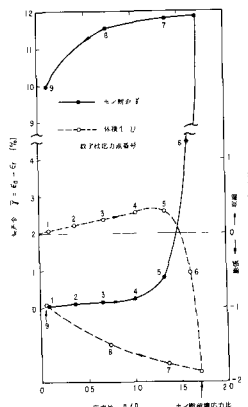


図-11.  $G_d - G_r \sim \delta/p$   
 $T \sim \delta/p$

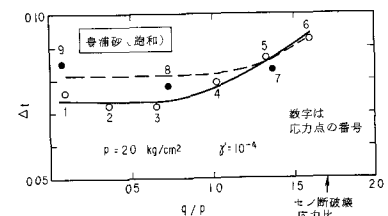


図-13.  $\Delta_t \sim \delta/p$  (豊浦砂)

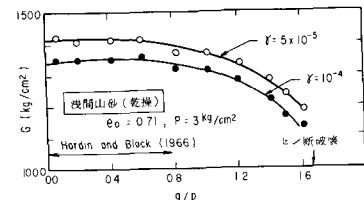


図-14.  $G \sim q/p$  関係 (浅間山砂)

#### 参考文献

- Dinevich and Richart (1970), "Dynamic Prestressing of Dry Sand," ASCE, Vol. 96, No. SM2, March.
- Hardin (1965), "The Nature of Damping in Sand," ASCE, Vol. 91, SM1, Jan.
- Hardin and Block (1966), "Sand Stiffness under Various Triaxial Stresses," ASCE, Vol. 92, No. SM2.
- 岩崎・龍田・堀内 (1974. a) "砂質資料の動的変形係数の一判定法," 土木学会第一回関東支部研究発表会概要集.
- 岩崎・龍田・堀内 (1974. b), "共振法土質試験機による土の動的変形係数," 土質工学会第9回研究発表会概要集
- Seed and Idriss (1970), "Shear Moduli and Damping Factors for Dynamic Response Analysis," Report No. EERC 70-10 Dec., College of Eng. Univ. of Calif., Berkeley